

円分体の一般 Greenberg 予想と K 群の特殊元

徳島大学 高橋 浩樹

§1 岩澤不変量

§2 K_1 群の特殊元を用いた不変量の計算
(円単数, ガウス和, $\mathbb{Q}(\sqrt{f}, \zeta_p)$)

§3 一般 Greenberg 予想と K_2 群
($\mathbb{Q}(\sqrt{-1}, \zeta_p)$ の $\{c^{(j)}, c^{(2-i-j)}\}$)

§1 岩澤不変量

k/\mathbb{Q} : 有限次拡大, p : 素数

K/k : \mathbb{Z}_p 拡大 i.e. $\text{Gal}(K/k) \simeq \mathbb{Z}_p$

$k = k_0 \subset k_1 \subset \cdots \subset k_n \subset \cdots \subset K$ s.t. $[k_n : k] = p^n$

A_n : k_n のイデアル類群の p 部分

定理 (岩澤)

不変量 $\lambda = \lambda_p(K/k)$, $\mu = \mu_p(K/k)$, $\nu = \nu_p(K/k)$
が存在して, 十分大きな全ての n で

$$\#A_n = p^{\lambda n + \mu p^n + \nu}$$

が成立する.

\tilde{k} : k の全ての \mathbb{Z}_p 拡大の合成体

単数群に関する Leopoldt 予想 (k, p) (円分体 Ax-Brumer)

$$\iff \text{Gal}(\tilde{k}/k) \simeq \mathbb{Z}_p^{r_2(k)+1} \quad (r_2(k): \text{虚素点の個数})$$

k_∞/k : 円分 \mathbb{Z}_p 拡大 s.t. $k_\infty \subseteq \bigcup_n k(\zeta_{p^n})$, ζ_n : 1 の原始 n 乗根

μ 不変量

岩澤予想

全ての代数体 k , 素数 p に対し, $\mu_p(k_\infty/k) = 0$.

定理 (Ferrero-Washington)

全ての円分体 k に対し, 予想が成立する.

注 $\mu_p(K/k) > 0$ となる例 (岩澤)

λ 不変量

p : 奇素数, $\overline{\mathbf{Q}} \subset \overline{\mathbf{Q}}_p$: 固定, k/\mathbf{Q} : アーベル拡大,
 $\Delta := \text{Gal}(k/\mathbf{Q})$, (Δ の exponent) $| (p-1)$ とする.
仮定より, 指標 $\chi \in \hat{\Delta}$ の値は \mathbf{Z}_p^\times に含まれ,

$$e_\chi := \frac{1}{\#\Delta} \sum_{\delta \in \Delta} \chi(\delta) \delta^{-1} \in \mathbf{Z}_p[\Delta].$$

$\mathbf{Z}_p[\Delta]$ 加群 M に対し, $M^\chi := e_\chi M$ とする.

$\Delta \simeq \text{Gal}(k_n/\mathbf{Q}_n)$ により,

$$A_n = \bigoplus_{\chi: \text{偶指標}} A_n^\chi \oplus \bigoplus_{\chi: \text{奇指標}} A_n^\chi = A_n^+ \oplus A_n^-$$

と分解され, $\lambda_p^\chi(k_\infty/k)$, $\nu_p^\chi(k_\infty/k)$ が定まる.

$X_\infty^\chi := \varprojlim A_n^\chi$ とすると, $\lambda_p^\chi(k_\infty/k) = \text{rank}_{\mathbb{Z}_p} X_\infty^\chi$.

$f_n := \text{lcm}\{f_\chi, p^{n+1}\}_{\chi \in \hat{\Delta}}$ に対し, $k_n \subseteq \mathbb{Q}(\zeta_{f_n})$.

$\text{Gal}(k_\infty/k) \simeq \mathbb{Z}_p$ の位相生成元 γ を

その延長 γ' が $\zeta_{f_n}^{\gamma'} = \zeta_{f_n}^{1+f_0}$ となる元とする.

$T := \gamma - 1$ の作用により, X_∞^χ は $\Lambda := \mathbb{Z}_p[[T]]$ 加群.

$$X_\infty^\chi \sim \bigoplus_{i=1}^r \Lambda / (f_i(T)) \quad (\text{pseudo-isom})$$

$f_\chi(T) := \prod f_i(T)$. ($f_i(T)$: distinguished 多項式)

χ : 偶指標, $\chi^* := \omega\chi^{-1}$: 奇指標

(ω : Teichmüller 指標, $\omega : \mathbb{Z}/p\mathbb{Z} \rightarrow \mathbb{Z}_p$, $\omega(a) \equiv a \pmod{p}$)

$L_p(s, \chi)$: 久保田-Leopoldt の p 進 L 関数.

(+, 偶) $L_p(s, \chi) = G_\chi((1 + f_0)^{1-s} - 1)$, $s \in \mathbb{Z}_p$ を満たす
 $G_\chi(T) \in \mathbb{Z}_p[[T]]$ が存在し, $G_\chi(T) = g_\chi(T)u_\chi(T)$,
 $g_\chi(T) \in \mathbb{Z}_p[T]$, $u_\chi(T) \in \mathbb{Z}_p[[T]]^\times$ と一意的に表される.

(-, 奇) $L_p(s, \chi) = G_{\chi^*}((1 + f_0)^s - 1)$, $s \in \mathbb{Z}_p$ を満たす
 $G_{\chi^*}(T) \in \mathbb{Z}_p[[T]]$ が存在し, $G_{\chi^*}(T) = g_{\chi^*}(T)u_{\chi^*}(T)$,
 $g_{\chi^*}(T) \in \mathbb{Z}_p[T]$, $u_{\chi^*}(T) \in \mathbb{Z}_p[[T]]^\times$ と一意的に表される.

岩澤主予想 (Mazur-Wiles の定理)

奇指標 $\chi^* = \omega\chi^{-1}$ に対し, $f_{\chi^*}(T) = g_{\chi^*}(T)$.

特に, $\lambda_p^{\chi^*}(k_\infty/k) = \deg g_{\chi^*}(T)$.

Greenberg 予想 (未解決)

偶指標 χ に対し, $f_\chi(T) = 1$.

即ち, $\lambda_p^\chi(k_\infty/k) = 0$.

(主予想より $f_\chi(T) | g_\chi(T)$.)

§2. K_1 群の特殊元を用いた不変量の計算

p : 奇素数, $k = \mathbf{Q}(\sqrt{f}, \zeta_p)$, $k_n = k(\zeta_{p^{n+1}})$

$\chi = \chi_f$: $\mathbf{Q}(\sqrt{f})$ に付随する非自明な Dirichlet 指標

$\omega = \omega_p$: Teichmüller 指標, $\text{Gal}(k_n/\mathbf{Q}_n) \simeq \Delta = \text{Gal}(k/\mathbf{Q})$

$$A_n = \begin{cases} \bigoplus A_n^{(i)} & \oplus & \bigoplus A_n^{(p-i)} \dots & \omega^i, & \omega^{p-i} \text{ part} \\ \bigoplus A_n^{(\chi, j)} & \oplus & \bigoplus A_n^{(\chi, p-j)} \dots & \chi_f \omega^j, & \chi_f \omega^{p-j} \text{ part} \end{cases}$$

偶指標 奇指標

Greenberg 予想 (未解決)

全ての p, χ, i, j に対し, $\lambda_p^{(i)} = \lambda_p^{(\chi, j)} = 0$.

Vandiver 予想 (未解決)

全ての p, i に対し, $\lambda_p^{(i)} = \nu_p^{(i)} = 0$. 即ち, $A_n^{(i)} = \{0\}$.

Kummer,..., Buhler, Harvey による計算

$p < 1.63$ 億で以下の等式・不等式が成立.

$$\lambda_p^{(i)} = \nu_p^{(i)} = 0, \quad \lambda_p^{(p-i)} \leq 1.$$

疑問 以下の等式・不等式が成立しない例は？

$$\nu_p^{(\chi, j)} = 0, \quad \lambda_p^{(\chi, p-j)} \leq 1.$$

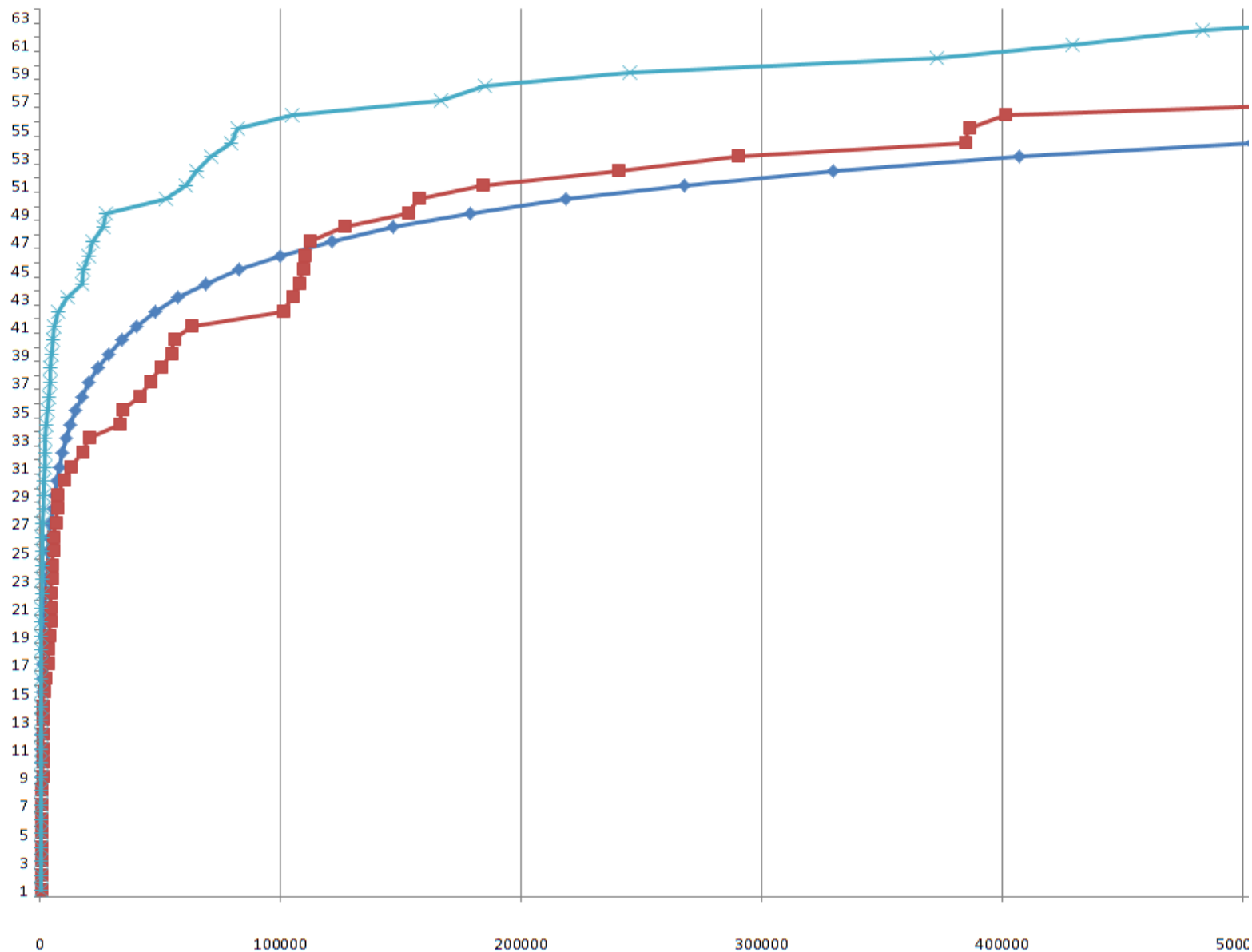
例外組 (p, χ, j) の個数の期待値 $(x_1 \leq p \leq x_2)$

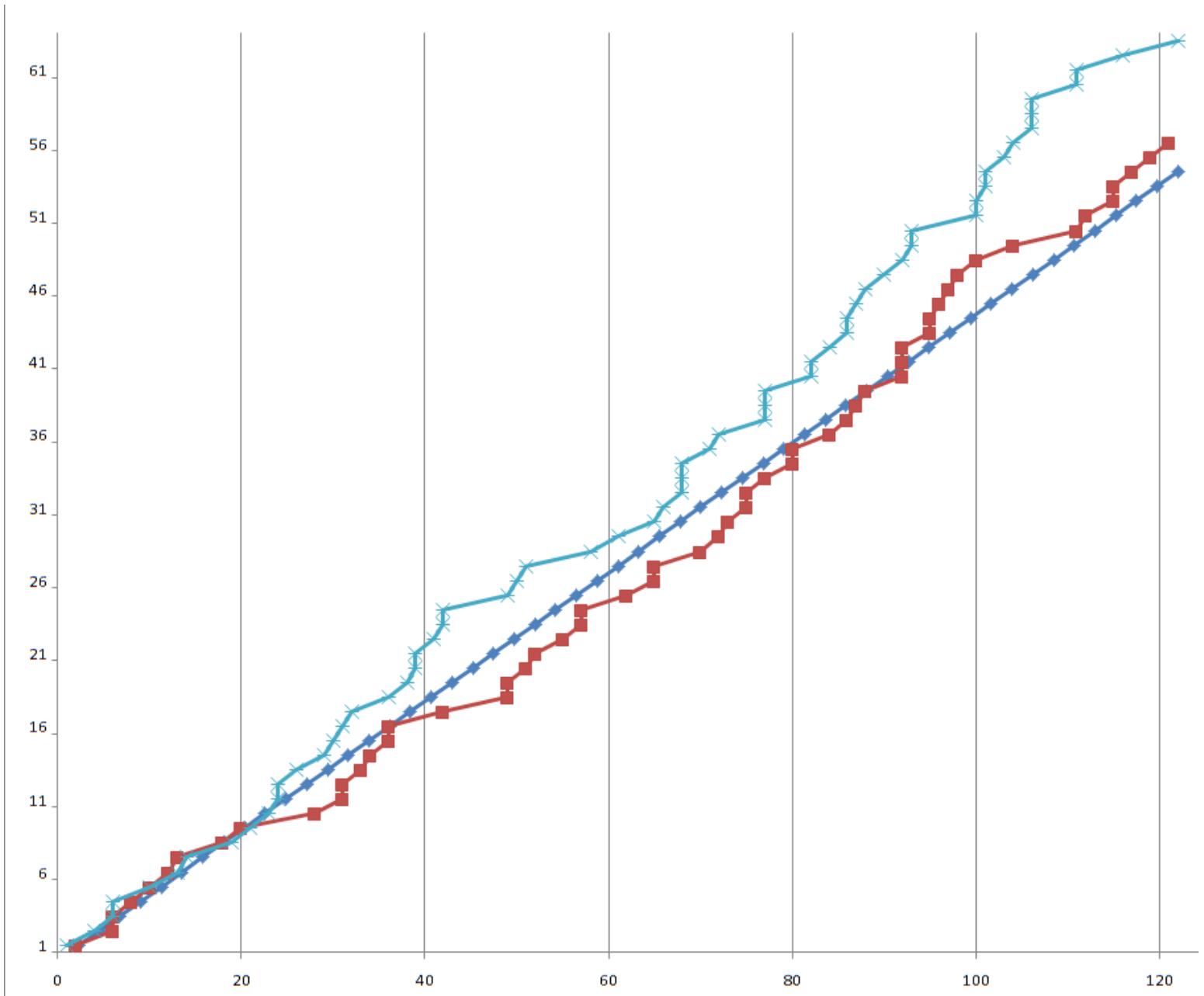
$$E = \sum_{x_1 \leq p \leq x_2} \frac{p-3}{2} \frac{1}{p} \frac{1}{p} \approx \frac{1}{2} (\log \log x_2 - \log \log x_1).$$

$|f| < 200$: 122 個, $200 \leq p \leq 500000$, $122 * E \approx 54$.

実験結果 $\nu_p^{(\chi, j)} > 0 \dots 56$ 個, $\lambda_p^{(\chi, p-j)} > 1 \dots 62$ 個

$p = 401321, f = 185, j = 205162$ に対し, $\nu_p^{(x,j)} > 0$.
 $p = 483773, f = 33, j = 271222$ に対し, $\lambda_p^{(x,p-j)} > 1$.





K_1 群の特殊元を用いた計算法

[I] χ 非正則ペア $(p, \chi\omega^j)$ の探索 (一般ベルヌーイ数の母関数)

$$\sum_{a=1}^f \frac{\chi(a)te^{at}}{e^{ft} - 1} \equiv \sum_{j=0}^{\infty} B_{j,\chi} \frac{t^j}{j!} \pmod{p}. \quad (\text{FFT})$$

[II] 岩澤多項式の係数の計算 (p 進 L 関数)

$$L_p(s, \chi\omega^j) = \frac{1}{f_0(s-1)} \sum_{a=1, p \nmid a}^{f_0} \chi\omega^j(a) \langle a \rangle^{1-s} \sum_{i=0}^{\infty} {}_{1-s}C_i B_i \left(\frac{f_0}{a} \right)^i.$$

[III] $\lambda_p^{(\chi, j)} = 0$, $\nu_p^{(\chi, j)}$ の上界 (円単数, 素数 l)

$$c_n := (1 - \zeta_{f_n})^{e_{\chi\omega^j}}$$

$$Y_n(T) \in \mathbf{Z}[T] \text{ s.t.}$$

$$Y_n(T)g_{\chi\omega^j}(T) \equiv p^{a_n} \pmod{((1+T)^{p^n} - 1)}.$$

ある素イデアル \mathfrak{L} , $\mathfrak{L}|l \equiv 1 \pmod{f_n}$ に対し,

$$c_n^{Y_n(T)} \pmod{\mathfrak{L}} \notin ((\mathcal{O}_{k_n}/\mathfrak{L})^\times)^{p^{a_n}} \text{ を示す.}$$

$$0 \rightarrow I_\infty^{\chi\omega^j} \rightarrow Y_\infty^{\chi\omega^j} \rightarrow X_\infty^{\chi\omega^j} \rightarrow 0$$

(惰性群, p の外不分岐, 不分岐)

Mazur-Wiles の定理より, $g_{\chi\omega^j}(T) = \text{char}_\Lambda Y_\infty^{\chi\omega^j}$.

$c_n^{Y_n(T)} \pmod{\mathfrak{L}}$ の情報から $I_\infty^{\chi\omega^j} \simeq (U_\infty/E_\infty)^{\chi\omega^j}$

(p 局所単数/単数) の下界, したがって $X_\infty^{\chi\omega^j}$ の上界を得る.

[IV] $\nu_p^{(\chi, j)}$ の決定 (ガウス和, 素数 l^*)

$$g_0(\mathfrak{L}) := \left(\sum_{0 \leq s \leq l-2} \zeta_{f_0}^s \zeta_l^{g^s} \right)^{e_{\chi \omega^{p-j}}}$$

g は \mathbb{F}_l^\times の生成元, $\zeta_{f_0}^s \equiv g^{s(l-1)/f_0} \pmod{\mathfrak{L}}$.

ある素イデアル \mathfrak{L}^* , $\mathfrak{L}^* | l^* \equiv 1 \pmod{lf_0}$ に対し,

$g_0 \pmod{\mathfrak{L}^*} \notin ((\mathcal{O}_{k_0}/\mathfrak{L}^*)^\times)^{p^{a_0^*}}$ を示す

(FFT, 中山の補題)

[III] で用いた l について, $g_0(\mathfrak{L}) \pmod{\mathfrak{L}^*}$ の情報から l を用いることの正当性を確認し, $X_\infty^{\chi \omega^j}$ の位数を得る.

§3 一般 Greenberg 予想と K_2 群

p : 素数, $\tilde{k}/k: \mathbb{Z}_p^d$ 拡大 (k にとって最大の d)

$$k = k_0 \subset k_1 \subset \cdots \subset k_n \subset \cdots \subset \tilde{k}$$

$$\text{s.t. Gal}(k_n/k) \simeq (\mathbb{Z}/p^n\mathbb{Z})^d$$

A_n : k_n のイデアル類群の p 部分, $X_\infty := \varprojlim A_n$.

$\text{Gal}(\tilde{k}/k) = \overline{\langle \gamma_1, \gamma_2, \dots, \gamma_d \rangle} \simeq \mathbb{Z}_p^d$. $T_i := \gamma_i - 1$ の作用により, X_∞ は $\tilde{\Lambda} := \mathbb{Z}_p[[T_1, T_2, \dots, T_d]]$ 加群.

一般 Greenberg 予想 (未解決)

$X_\infty \sim 0$ (pseudo-null $\tilde{\Lambda}$ 加群)

i.e. $\text{ht}_{\tilde{\Lambda}}(\text{Ann}_{\tilde{\Lambda}} X_\infty) \geq 2$.

注 1 $d = 1$ となるのは総実体 k であり, pseudo-null $\mathbb{Z}_p[[T]]$ 加群は有限群なので, $\lambda_p(k_\infty/k) = \mu_p(k_\infty/k) = 0$ という予想となる.

注 2 一般の \mathbb{Z}_p^r 拡大に対し, $\Lambda := \mathbb{Z}_p[[T_1, T_2, \dots, T_r]]$ として, $\text{ht}_\Lambda(\text{Ann}_\Lambda X_\infty) \geq 1$, i.e. X_∞ は torsion Λ 加群 (Greenberg), 類数公式 $\#A_n = p^{(ln+mp^n+O(1))p^{(r-1)n}}$ ($n \gg 0$) (Cuoco-Monsky).

$$k = \mathbf{Q}(\zeta_p)$$

p 単数のカップ積 (K_2 群の元)

$A_0^+ = 0$ (Vandiver 予想) とする.

$$E'_{k,p} := \mathcal{O}_k[1/p]^\times / (\mathcal{O}_k[1/p]^\times)^p$$

$$\kappa'_p : E'_{k,p} \times E'_{k,p} \rightarrow A_k/pA_k \otimes \boldsymbol{\mu}_p \quad (\boldsymbol{\mu}_p = \langle \zeta_p \rangle)$$

$$(H^1(G_{k,p}, \boldsymbol{\mu}_p) \times H^1(G_{k,p}, \boldsymbol{\mu}_p) \rightarrow H^2(G_{k,p}, \boldsymbol{\mu}_p) \otimes \boldsymbol{\mu}_p)$$

$$\kappa'_{p,i} : \bigoplus_j (E'_{k,p})^{(j)} \times (E'_{k,p})^{(2-i-j)} \rightarrow (A_k/pA_k)^{(1-i)} \otimes \boldsymbol{\mu}_p$$

$$(c^{(j)}, c^{(2-i-j)}) \quad \mapsto e_{i,j} := \langle c^{(j)}, c^{(2-i-j)} \rangle_i$$

K_2 群とコホモロジー群

$$\begin{aligned}
 & K_2^M(O_k[1/p]) \\
 &= (O_k[1/p]^\times \otimes O_k[1/p]^\times) / \langle a \otimes (1-a) \mid a, 1-a \in O_k[1/p]^\times \rangle
 \end{aligned}$$

$$\begin{array}{ccc}
 e'_{i,j} \in K_2^M(O_k[1/p])/p & \xrightarrow{\kappa_p} & K_2(O_k[1/p])/p \\
 & \searrow \kappa'_p & \downarrow -c_p \wr \\
 & & H^2(G_{k,p}, \mu_p^{\otimes 2}) \ni e_{i,j}
 \end{array}$$

$$e'_{i,j} := \{c^{(j)}, c^{(2-i-j)}\}_i \quad \mapsto \quad \langle e_{i,j} := c^{(j)}, c^{(2-i-j)} \rangle_i$$

具体的な関係式

素数 p , 偶数 i を固定し, 偶数 j に対し $x_j = e'_{i,j}$, $j' = 2 - i - j$ と表す.

(1) $x_j + x_{j'} = 0$. (anti-symmetry)

$\because O_k[1/p]^\times \supset \{1 - st^{-1} | s \in S, t \in S \cup \{1\}\}$, $S = \{(1 - \zeta_p^i) | 1 \leq i < p\}$.

(2) $3 \leq a \leq p - 1$ に対し,

$$\sum_{\substack{j=0 \\ \text{偶}}}^{p-3} (a^j + 1 - 2^j)((2a - 2)^{j'} + 1 - (a - 1)^{j'} - 2^{j'})x_j = 0.$$

$$\because \{\rho_a, \rho_{a-1}\} = \left\{ \frac{(1 - \zeta_p^a)(1 - \zeta_p)}{1 - \zeta_p^2}, \frac{(1 - \zeta_p^{2a-2})(1 - \zeta_p)}{(1 - \zeta_p^{a-1})(1 - \zeta_p^2)} \right\} = 0,$$

$$\text{ただし } \rho_a = \frac{1 - \zeta_p^a}{1 + \zeta_p}.$$

定理 (McCallum-Sharifi)

$r_p := \dim_{\mathbb{F}_p} A_0^- / pA_0^-$. (非正則指数)

$s_p := \#\{j \mid e_{i,j} \neq 0, \text{ 全ての非自明部分 } i\}$

(円単数のカップ積が非自明となる総数)

$$\text{ht}_{\tilde{\Lambda}}(\text{Ann}_{\tilde{\Lambda}} X_\infty) \geq \frac{s_p}{r_p^2 - r_p + 1} + 1.$$

(r_p, s_p) のデータより $p < 1000$ で一般 Greenberg 予想成立.

計算方法

- (1) ベルヌーイ数の母関数 mod p より非正則指数 r_p を求める.
- (2) Hecke 環の Eisenstein イデアルの計算から $e_{i,0} \neq 0$ を示す.
- (3) 各 i に対し $e'_{i,0}, e'_{i,2}, \dots, e'_{i,p-3}$ の関係式から s_p を求める.

p 分体での r_p の分布 ($p < 2^{15}$)

r_p	0	1	2	3	4	≥ 5
#	2134	1056	276	44	2	0

p 分体の s_p の分布

$$s_p \geq \frac{p-1}{2} - \sum_{i:\text{非自明}} z_{p,i}, \quad z_{p,i} := \#\{j \mid e_{i,j} = 0\}.$$

McCallum-Sharifi の予想

全ての p, i に対して, $\kappa_{p,i}$ は全射.

以下はこの種の予想を仮定し, $z_{p,i} = z'_{p,i} := \#\{j \mid e'_{i,j} = 0\}$ が示せる場合.

p 分体の $z'_{p,i}$ の分布 ($p < 2^{15}$) $e'_{i,j} := \{c^{(j)}, c^{(2-i-j)}\}_i = 0$

$(p, i) \bmod 4$	0	1	2	3	4	5	6	7	8	9	10
$\#(1,0)$	0	0	349	0	89	0	14	0	0	0	0
$\#(1,2)$	0	0	0	0	307	0	93	0	10	0	2
$\#(3,0)$	0	0	0	331	0	81	0	12	0	0	0
$\#(3,2)$	0	0	0	369	0	80	0	10	0	1	0

$$z'_{p,i} = 2z''_{p,i} + 2 + \begin{cases} 0 & (p, i) \equiv (1, 0) \pmod{4} \\ 2 & (p, i) \equiv (1, 2) \pmod{4} \\ 1 & (p, i) \equiv (3, *) \pmod{4} \\ \text{other, index, self} & \end{cases}$$

$$\{c^{(j)}, c^{(2-i-j)}\}_i = -\{c^{(2-i-j)}, c^{(j)}\}_i$$

z'' の分布は, $P(e'_{i,j} = 0) = 1/p$ とする分布に近い.

k	0	1	2	3	sum
$\#z'' = k$	1356	343	46	3	1748
ratio	0.776	0.196	0.026	0.0017	1
$Po(\lambda = 1/4)$	0.779	0.195	0.024	0.0020	1

(101, 68)

1, 84, 84, 89, 35, 29, 48, 15, 70, 31, 86, 53, 72, 66, 12, 17, 17,
100, 45, 61, 5, 75, 38, **0** (46), 40, 20, 30, 66, 9, 28, 37, 95, 13,
0 (66), **0** (68), 88, 6, 64, 73, 92, 35, 71, 81, 61, **0** (88), 63, 26,
96, 40, 56

other (46)-(88), index (68)-(66)

(379, 100)

1, 97, ..., 279, 159, **0** (100), 258, 239, ..., 206, 168, **0** (140),
211, 173, ..., 140, 121, **0** (180), 220, 100, ..., 140, 206

index (100)-(180), self (140)

$$\mathbf{k} = \mathbf{Q}(\zeta_{4p}) = \mathbf{Q}(\sqrt{-4}, \zeta_p), \chi = \chi_{-4}$$

4p 分体の $r_{p,\chi}$ の分布 ($p < 2^{15}$)

$r_{p,\chi}$	0	1	2	3	4	5	≥ 6
#	2133	1062	270	40	6	1	0

4p 分体の $s_{p,\chi}$ の分布

$$(i) \kappa_{p,\chi,i} : \bigoplus_j (E'_{k,p})^{(\chi,j)} \times (E'_{k,p})^{(\chi,2-i-j)} \rightarrow (A_k/pA_k)^{(1-i)} \otimes \langle \zeta_p \rangle$$

$$e'_{\chi,i,j} := \{c^{(\chi,j)}, c^{(\chi,2-i-j)}\}_i \mapsto e_{\chi,i,j} := \langle c^{(\chi,j)}, c^{(\chi,2-i-j)} \rangle_i$$

$$(ii) \kappa_{p,\chi,j} : \bigoplus_i (E'_{k,p})^{(\chi,i)} \times (E'_{k,p})^{(2-j-i)} \rightarrow (A_k/pA_k)^{(\chi,1-j)} \otimes \langle \zeta_p \rangle$$

$$e'_{\chi,j,i} := \{c^{(\chi,i)}, c^{(2-j-i)}\}_{\chi,j} \mapsto e_{\chi,j,i} := \langle c^{(\chi,i)}, c^{(2-j-i)} \rangle_{\chi,j}$$

(i) $4p$ 分体の $z'_{p,\chi,i}$ の分布 ($p < 2^{15}$) $e'_{\chi,i,j} := \{c(\chi,j), c(\chi,2^{-i-j})\}_i = 0$

$(p, i) \bmod 4$	0	1	2	3	4	5	6	7	8
$\sharp(1,0)$	0	0	343	0	98	0	10	0	1
$\sharp(1,2)$	327	0	77	0	6	0	2	0	0
$\sharp(3,0)$	0	312	0	99	0	12	0	1	0
$\sharp(3,2)$	0	364	0	82	0	13	0	1	0

$$z'_{p,\chi,i} = 2z''_{p,\chi,i} + \begin{cases} 2 & (p, i) \equiv (1, 0) \pmod{4} \\ 0 & (p, i) \equiv (1, 2) \pmod{4} \\ 1 & (p, i) \equiv (3, *) \pmod{4} \end{cases}$$

other, self

z'' の分布は, $P(e'_{x,i,j} = 0) = 1/p$ とする分布に近い.

k	0	1	2	3	sum
$\#z'' = k$	1346	356	41	5	1748
ratio	0.770	0.203	0.023	0.0028	1
$Po(\lambda = 1/4)$	0.779	0.195	0.024	0.0020	1

(ii) $4p$ 分体の $z'_{p,\chi,j}$ の分布 ($p < 2^{15}$)

$$e'_{\chi,j,i} := \{c^{(\chi,i)}, c^{(2-j-i)}\}_{\chi,j} = 0, \{c^{(2-j-i)}, c^{(\chi,i)}\}_{\chi,j} = -e'_{\chi,j,i} = 0$$

$(p, j) \bmod 4$	0	1	2	3	4	5	6	7	8	9	10	11	12
$\#(1,1)$	0	0	240	0	134	0	27	0	7	0	1	0	0
$\#(1,3)$	0	0	267	0	128	0	30	0	8	0	1	0	0
$\#(3,1)$	0	0	275	0	151	0	29	0	6	0	2	0	1
$\#(3,3)$	0	0	277	0	125	0	30	0	7	0	0	0	0

$$z'_{p,\chi,j} = 2z''_{p,\chi,j} + 2$$

other, index

z'' の分布は, $P(e'_{x,j,i} = 0) = 1/p$ とする分布に近い.

k	0	1	2	3	4	5	sum
$\#z'' = k$	1059	538	116	28	4	1	1746
ratio	0.607	0.308	0.066	0.016	0.0023	0.00057	1
$Po(\lambda = 1/2)$	0.607	0.303	0.076	0.013	0.0015	0.00015	1

(i) (379, 100)

2, 98, ..., 330, 137, **0** (317), 212, 13, 262, 310, 227, **0** (329),

152, 69, 117, 366, 167, **0** (341), 242, 49, ..., 45, 5

other (317)-(341), self (329)

(i) (379, 174)

306, 29, ..., 193, 121, **0** (103), 258, 186, ..., 255, 225, **0**

(267), 89, 32, ..., 347, 290, **0** (317), 154, 124, ..., 36, 141

other (317)-(267), self (103)

問 : $\#K_{2m+2}(\mathbb{Z}[i])(p)^x \neq 1$ となる

1000 万以下の奇素数 p , 偶数 m は?

答 : $p = 379, m = 60$

(この範囲で $\nu_p^+ > 0$ となる唯一の例外素数)